



تعداد بردارهای ویژه لازم برای ارائه طیف انعکاسی رنگزهای طبیعی

سعیده گرجی کندی^{۱*}، امیر کیومرثی^۲، کمال الدین قرنجیگ^۲

۱- استادیار، گروه پژوهشی نمایش رنگ و پردازش تصویر، پژوهشگاه علوم و فناوری رنگ، تهران، ایران، صندوق پستی: ۱۶۷۶۵-۶۵۴

۲- استادیار، گروه پژوهشی مواد رنگزای آبی، پژوهشگاه علوم و فناوری رنگ، تهران، ایران، صندوق پستی: ۱۶۷۶۵-۶۵۴

تاریخ دریافت: ۸۸/۱۲/۱۶ تاریخ پذیرش: ۸۹/۸/۲ در دسترس به صورت الکترونیکی از: ۱۳۹۰/۳/۲۰

چکیده

داده‌های طبیعی، که اطلاعات با ارزشی را در اختیار می‌گذارند معمولاً در تعداد ابعاد زیادی بسته به دقت دستگاه اندازه‌گیری گزارش می‌شوند. این در حالی است که در طی نیم قرن اخیر به کارگیری روش‌های ریاضی چون تحلیل اجزاء اصلی (PCA) نشان داده است که تعداد بردارهای ویژه داده‌های طبیعی، بسیار محدود می‌باشد. در این پژوهش، با به کارگیری روش PCA برای یک مجموعه ۶۲۹ تایی از نمونه‌های پشمی رنگرزی شده با رنگزهای طبیعی، تعداد بردار ویژه لازم برای بیان داده‌های انعکاس طبیعی چنین رنگزهایی مورد بررسی قرار گرفت. پارامترهای GFC و همچنین میانگین اختلاف رنگ تحت دو منبع نوری به عنوان معیار ارزیابی، برای بررسی خطابه خدمت گرفته شد. نتایج حاکی از آن بود که داده‌های انعکاس طبیعی نمونه‌های رنگرزی شده با رنگزهای طبیعی به علت داشتن منحنی‌های مشابه و هموار می‌توانند با دقت بسیار بالای (GFC=0.999) با تقریباً ۵ بردار ویژه بازسازی شوند. همچنین به کارگیری بردارهای ویژه همسان (تهیه شده از مجموعه رنگزهای طبیعی)، نتایج بهتری نسبت به مجموعه‌های دیگر نظری پایاستر رنگرزی شده و همچنین مجموعه ۱۲۶۹ تایی مانسل داشته است.

واژه‌های کلیدی: رنگزهای طبیعی، طیف انعکاسی، تحلیل اجزاء اصلی، بردارهای ویژه.

Appropriate Number of Principal Components for Spectral Reflectance Representation of Natural Dyes

S. Gorji¹, A. Kiumarsi², K. Gharanjig²

¹ Department of Color Imaging and Color Image Processing, Institute for Color Science and Technology, P.O.Box: 16765-654, Tehran, Iran.

² Department of Organic Colorants, Institute for Color Science and Technology, P.O.Box: 16765-654, Tehran, Iran

Abstract

Spectral data which give valuable information, are usually represented with a high dimension according to the accuracy of instrument. During the last decades, applying mathematical methods such as Principal Component Analysis (PCA) has shown that spectral data has limited number of principal vectors. In the present study, the appropriate numbers of PC vectors for representing the spectral reflectance of natural dyes were investigated applying a set of 629 wool samples dyed with natural dyes. GFC, RMSE and color differences under two illuminants were considered to evaluate the magnitude of error. Experimental results showed that it is possible to represent the spectral data of natural dyes with almost 5 principal components with precious accuracy (GFC=0.999). In addition, the best results were obtained when the principal vectors are extracted from the same data set (natural dyes) in comparison to other sets such as dyed polyesters or 1269 Munsell set. J. Color Sci. Tech. 5(2011), 51-60 © Institute for Color Science and Technology.

Keywords: Natural dyes, Spectral reflectance, Principal Component Analysis, Principal vectors.

مجموعه نمونه‌های طبیعی، مناسب می‌باشد. البته گزارش شد که برای بیان نمونه‌های طبیعی با بردارهای مانسل، چنانچه رسیدن به دقت مشابه مد نظر باشد باید تعداد بردار ویژه بیشتری را به کار برد. پارکینن^۷ و همکارانش (۱۹۸۷) در مورد تعداد بردارهای ویژه لازم برای ارائه مجموعه ۱۲۵۷ تایی مانسل تحقیق نمودند [۵]. آنها گزارش کردند که برای رسیدن به جواب قابل قبول، ۸ بردار ویژه لازم می‌باشد که بیشتر از تعداد پیشنهادی کوهن و همچنین مالونی بود. دنمیلر^۸ و همکارانش (۱۹۹۲)، تعداد بردارهای اصلی لازم برای ارائه داده‌های انعکاس طبی نمونه‌های موجود در طبیعت را بررسی نمودند [۶]. آنها بر روی ۳۳۷ نمونه طبیعی، روش PCA را به کار بردند و اعلام نمودند که ۳ بردار ویژه برای بازسازی منحنی انعکاسی این مجموعه می‌تواند کافی باشد. ورهل^۹ و همکارانش (۱۹۹۴) تحلیل اجزاء اصلی را برای ۳۵۴ نمونه انعکاسی شامل ۶۴ نمونه مانسل، ۱۲۰ نمونه رنگ شده دوبونت^{۱۰} و ۱۷۰ داده انعکاس طبیعی از نمونه‌های طبیعی و مصنوعی به کار گرفتند [۷]. آنها خطای بازسازی بردارهای ویژه را با به کارگیری سه تا هفت بردار پایه گزارش نمودند. ام^{۱۱} و همکارانش (۱۹۹۴) برای بازسازی نمونه‌های مکث از بردارهای ویژه ۱۵۶۵ نمونه مانسل استفاده نمودند و نشان دادند که با به کارگیری ۴ بردار ویژه اول می‌توان به بازسازی قابل قبولی دست یافت [۸]. جاسکلائین^{۱۲} و همکارانش (۱۹۹۰) بردارهای ویژه نمونه‌های مانسل پارکینن و همچنین ۲۱۸ نمونه انعکاسی از رنگ‌های موجود در طبیعت را استخراج نمودند و نشان دادند که بردارهای اصلی مانسل را می‌توان برای بازسازی نمونه‌های طبیعی به کار گرفت اگرچه تعداد بردار ویژه بیشتری برای رسیدن به دقت مشابه نیاز است [۹]. لنز^{۱۳} و همکارانش (۱۹۹۶) بردارهای ویژه سه دسته نمونه، شامل نمونه‌های مانسل پارکینن و همکارانش، ۱۲۶۹ نمونه مانسل و یک مجموعه ۱۵۱۳ تایی از نمونه‌های NCS را مورد بررسی قرار دادند [۱۰]. آنها نشان دادند که با توجه به نتایج PCA این سه مجموعه از نظر آماری بسیار مشابه می‌باشند و اولین بردارهای ویژه این سه مجموعه به هم وابسته است. گارسیا^{۱۴} و همکارانش (۱۹۹۸) روش PCA را برای ۵۵۷۴ نمونه رنگ‌های اکریلیکی اعمال شده بر روی برگه‌های کاغذی به کار گرفتند و نشان دادند که با به کارگیری هفت بردار ویژه می‌توان داده‌های انعکاس طبیعی را با دقت قابل قبولی ارائه نمود [۱۱]. در ضمن آنها تأثیر فام مجموعه مرجع جهت افزایش کارایی PCA را روی نمونه‌ها مورد بررسی قرار دادند و نشان دادند، چنانچه نمونه‌ها بر

۱- مقدمه

داده‌های انعکاس یا انتقال طیفی مهم‌ترین و در عین حال با ارزش‌ترین اطلاعات رنگی یک نمونه می‌باشد. با در اختیار داشتن انعکاس نمونه می‌توان رنگ آن را تحت شرایط مختلف مشاهده و منابع نوری متنوع محاسبه نمود. با توجه به ویژگی‌های دستگاه اسپکتروفوتومتر مورد استفاده، اگر مقداری داده‌های طیفی در محدوده ۳۸۰-۷۵۰ nm و با فوائل ۵ nm یا ۱۰ nm آندازه‌گیری شوند، آنگاه تجزیه و تحلیل و محاسبات رنگی به ترتیب در ۶۱ یا ۳۱ طول موج بین محدوده ۷۰۰-۴۰۰ nm صورت می‌گیرد.

در طی سال‌های متمادی بحث‌های زیادی در مورد ابعاد واقعی داده‌های انعکاس طیفی مطرح شده است. تحقیقات و مطالعات در این زمینه نشان دهنده آن بوده است که به دلیل یکنواختی و پیوستگی داده‌های انعکاس طیفی، تعداد ابعاد مستقل کمتر از ۳۱ و حتی ۱۶ طول موج می‌باشد و می‌توان این داده‌ها را با خطای قابل قبول، با تعداد بعد پایین‌تر گزارش نمود. در همین ارتباط یکی از روش‌هایی که به طور گسترده مورد استفاده قرار گرفته است روش تحلیل اجزاء اصلی^۱ (PCA) می‌باشد.

PCA یک ابزار ریاضی قوی، جهت یافتن الگوهای^۲ در داده‌های با تعداد بعد بالا است. به کارگیری PCA امکان بیان داده‌ها را در تعداد ابعاد کمتر و با اهمیت‌تر فراهم می‌آورد به نحوی که این داده‌ها از ترکیب خطی داده‌های اولیه حاصل می‌شوند و غیر همبسته^۳ می‌باشند. از دید هندسی در به کارگیری PCA، محورهای سیستم مختصات اولیه به محورهای متعامد^۴ جدیدی چرخانده می‌شوند به طوری که تغییرات (اختلافات) موجود در داده‌های اولیه تا حد امکان محفوظ بماند. از مهم‌ترین کاربردهای PCA، یافتن الگوهای اصلی در داده‌ها، برای بیان آنها در فضایی با تعداد بعد کمتر می‌باشد [۱۲]. با به کارگیری این روش می‌توان تعداد بردارهای ویژه لازم جهت بیان داده‌های انعکاس طیفی را با خطای قابل قبول مورد بررسی قرار داد. به عنوان یکی از اولین تحقیقات در این زمینه، کوهن^۵ در سال ۱۹۶۴، سه بردار اصلی ۱۵۰ نمونه مانسل را گزارش نمود [۳]. به دنبال کوهن، تحقیقات زیادی در این راستا بر روی مجموعه‌های مختلف از داده‌های طیفی صورت گرفت. مالونی^۶ (۱۹۸۶) در مورد ۴۶۲ داده‌های انعکاس طیفی از نمونه‌های مانسل و یک مجموعه از نمونه‌های طبیعی تحقیق نمود [۴]. نتایج تحقیق وی نشان داد که ۵ تا ۷ بردار ویژه اولیه از داده‌های مانسل، برای بازسازی این مجموعه و همچنین داده‌های دیگر نظیر

- 7- Parkkinen
- 8- Dannemiller
- 9- Vrhel
- 10- Du Pont
- 11- Eem
- 12- Jaaskelainen
- 13- Lenz
- 14- Garcia

- 1- Principal Component Analysis
- 2- Pattern
- 3- Uncorrelated
- 4- Orthogonal
- 5- Cohen
- 6- Maloney

میانگین مربعات خطای بازسازی داده‌ها با تعداد محدود بردار ویژه می‌تواند از رابطه λ_i نیز تخمین زده شود. در این رابطه λ_i اندیس بردار ویژه استفاده نشده و λ_i مقدار ویژه مربوط به آن می‌باشد. بدین ترتیب اولین بردار ویژه که دارای بزرگ‌ترین مقدار ویژه است، مهم‌ترین بردار پایه می‌باشد که جهت بیشترین پراکندگی را در داده‌ها نشان می‌دهد و بالعکس.

$$\bar{\varepsilon}^2(m) = \sum_{i=m+1}^n \lambda_i \quad (4)$$

با توجه به اینکه مقدار مطلق λ_i می‌تواند برای مجموعه داده‌های مختلف متفاوت باشد، نسبت هر مقدار ویژه به مجموع مقادیر ویژه به عنوان یک شاخص مناسب جهت ارزیابی هر بردار ویژه به صورت رابطه $\mu_i = \frac{\lambda_i}{\sum_{j=1}^n \lambda_j} \times 100$ حاصل شده است. این رابطه بیانگر درصد میانگین مربعات خطای حاصل از حذف بردار ویژه λ_i می‌باشد و عبارتی ارزش یک بردار ویژه را نشان می‌دهد. بدینهی است هر چه این درصد برای تعداد کمتری از بردارهای ویژه اولی، بالاتر باشد امکان بیان داده‌ها در فضای با بعد کمتر بیشتر می‌باشد [۲].

$$\mu_i = \frac{\lambda_i}{\sum_{j=1}^n \lambda_j} \times 100 \quad (5)$$

۲- بخش تجربی

در این تحقیق تعداد بردارهای ویژه لازم برای ارائه داده‌های انعکاس طیفی نمونه‌های پشم رنگرزی شده با رنگزهای طبیعی مورد بررسی قرار گرفت. برای این منظور الیاف پشمی رنگرزی شده با انواع مختلف رنگزهای طبیعی مورد استفاده قرار گرفت. رنگزهایی به کار گرفته شده شامل رنگزهای استخراج شده از انار، انگور، گردو، ارون، گلرنگ، چغندر، سماق، اسپرک، زلیل (رنگدانه آهن)، وسمه و یک مجموعه که از مخلوط رنگزهای مختلف حاصل شده، می‌باشد. در رنگرزی‌ها از ۰ تا ۵٪ نسبت به وزن کالا (O.W.F.) از دندانهای نظری آلومینیوم، قلع، مس، کرم و آهن استفاده گردید. جدول ۱ تعداد نمونه‌های رنگرزی شده در هر دسته را نشان می‌دهد. همچنین در جدول ۲ فام خالص‌ترین نمونه در هر دسته گزارش شده است. در ادامه مجموعه نمونه‌های پشمی رنگرزی شده با رنگزهای طبیعی به اختصار مجموعه رنگزهای طبیعی نامیده می‌شود.

-
- 1- Principle vectors or principle components
2- Basis vectors

مبنای فام دسته‌بندی شوند تعداد بردارهای ویژه لازم برای رسیدن به دقیقیت مشابه قبل، ۱ تا ۲ بردار کاهش می‌یابد. همچنین در نزدیکترین تحقیق یافت شده در این زمینه، بررسی تعداد ابعاد خامه‌های رنگ شده با رنگزهای طبیعی با روش PCA توسعه قانعان و همکارانش شده با رنگزهای طبیعی صورت گرفته و همچنین جهت مقایسه، نتایج حاصل از مجموعه مانسل نیز به کار گرفته شده است. عنوان شده که چنانچه ۶ تا ۸ بردار ویژه برای بیان داده‌های مانسل نیاز باشد، رنگزهای طبیعی مورد استفاده حدود ۲ بردار ویژه کمتر، برای رسیدن به دقیقیت مشابه نیاز دارد.

هدف از پژوهش حاضر، بررسی تعداد بردارهای ویژه لازم برای ارائه داده‌های انعکاس طیفی رنگزهای طبیعی می‌باشد. از آنجا که رنگزهای طبیعی فامهای محدودی را پوشش داده و منحنی‌های طیفی مربوط به هر دسته رنگزا، دارای شباهت‌هایی می‌باشند به نظر می‌رسد تعداد بردارهای ویژه تاثیرگذار (دارای مقادیر ویژه قابل توجه) در آنها محدود باشد. این بررسی با به کارگیری روش PCA بر روی داده‌های انعکاس طیفی مجموعه ای شامل ۶۲۹ نمونه پشم رنگرزی شده با انواع متنوعی از رنگزهای طبیعی، انجام شده است.

روش تحلیل اجزاء اصلی (PCA) [۱,۲]

چنانچه X یک مجموعه شامل P عدد داده طیفی در فضای n بعدی باشد، این مجموعه داده در فضای $m < n$ بعدی با استفاده از رابطه 1 به دست می‌آید.

$$Y_{(m \times p)} = PC'_{(m \times n)} \cdot X_{(n \times p)} \quad (1)$$

در این رابطه PC' ماتریس بردارهای اصلی 1 شامل m بردار ویژگی در فضای n بعدی است. داده‌های اولیه با استفاده از رابطه 2 قابل بازسازی می‌باشند.

$$\hat{X}_{(n \times p)} = PC_{(n \times m)} \cdot Y_{(m \times p)} \quad (2)$$

میانگین مربعات خطای بین داده‌های اصلی و بازسازی شده از رابطه 3 حاصل می‌شود.

$$\bar{\varepsilon}^2(m) = \text{mean} \left(\left\| X - \hat{X} \right\|^2 \right) \quad (3)$$

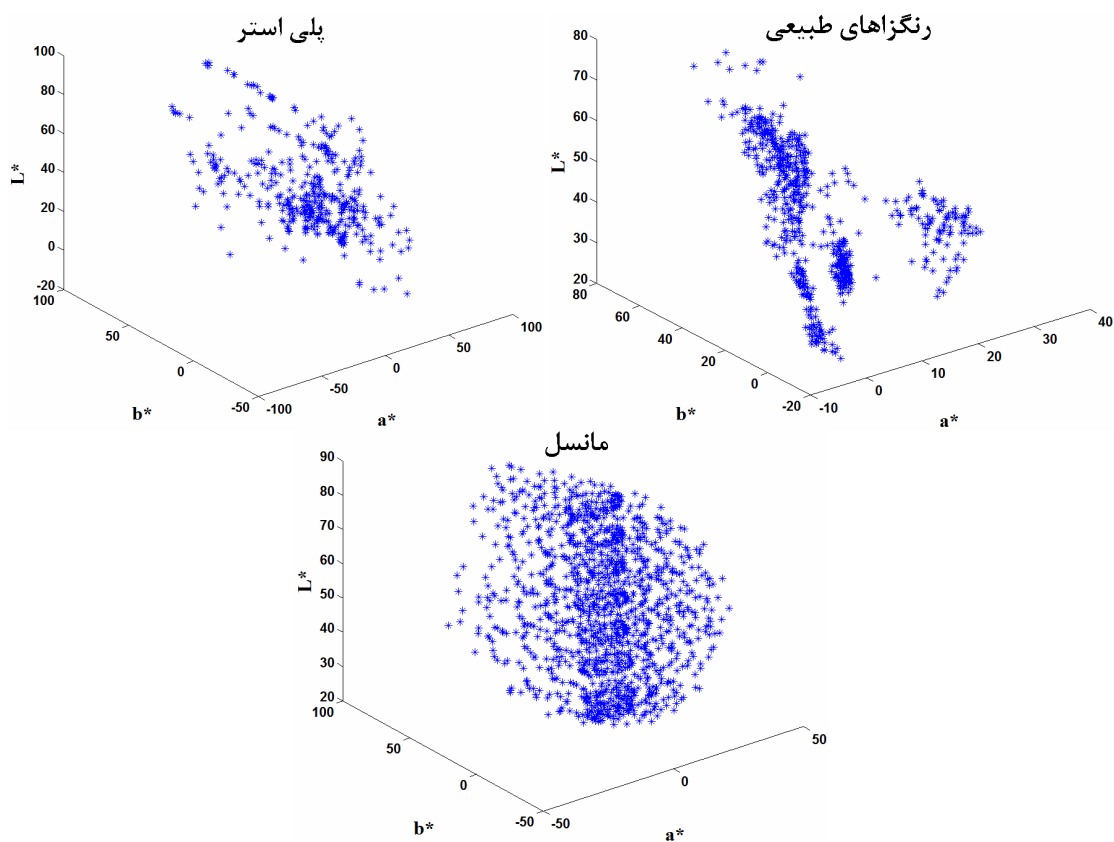
اثبات می‌شود بهترین بردارهای اصلی (PC) که میانگین مربعات خطای بازسازی را حداقل نماید بردارهای ویژه ماتریس کوواریانس داده‌های اصلی است که به نام بردارهای پایه 2 نیز شناخته می‌شوند. بدین ترتیب PCA قادر به انتقال خطی داده‌ها از فضایی با بعد بالا به فضایی با بعد پایین که دارای اجزاء غیر همبسته است، می‌باشد.

جدول ۱: تعداد نمونه‌های موجود در هر دسته رنگزای طبیعی.

كل	مخلوط	وسمه	زلیل	اسپرک	سماق	چغندر	گلرنگ	روناس	ارونه	گردو	انگور	انار	رنگزا	تعداد
۶۲۹	۲۶	۴۰	۳۰	۴۰	۵۴	۲۶	۷۱	۹۵	۱۸	۱۱۷	۳۵	۳۵	۷۷	

جدول ۲: زاویه فام نمونه با بالاترین خلوص در هر دسته رنگزای طبیعی.

مخلوط	وسمه	زلیل	اسپرک	سماق	چغندر	گلرنگ	روناس	ارونه	گردو	انگور	انار	رنگزا	h_{ab}^*
۷۵	۲۵۴	۸۰	۷۶	۸۰	۶۲	۷۹	۳۳	۸۴	۶۰	۸۲	۷۸	۷۸	



شکل ۱: موقعیت مجموعه رنگزاهای طبیعی، پلی استر رنگرزی شده و همچنین مجموعه ۱۲۶۹ تایی مانسل در فضا رنگ CIELAB.

۳۹۴ تایی از نمونه پارچه‌های پلی استر رنگرزی شده و مجموعه ۱۲۶۹ تایی نمونه‌های مات مانسل [۱۳] نیز مورد بررسی قرار گرفت. شکل ۱ موقعیت مجموعه نمونه‌های مورد بحث را در فضای CIELAB نشان می‌دهد.

مجموعه رنگزاهای طبیعی، معمولاً فام‌های قرمز تا زرد و آبی را شامل می‌شوند. در مورد مجموعه مورد استفاده نیز، چنانچه از شکل ۱ ملاحظه می‌شود تقریباً بجز نمونه‌های رنگرزی شده با رنگزای وسمه که در محدوده فام‌های آبی قرار می‌گیرند و برخی از رنگ‌های دسته مخلوط، بقیه نمونه‌ها، فام‌های قرمز تا زرد را شامل می‌شوند. با توجه به این امر، یک بار نیز مجموعه تهیه شده از رنگزاهای طبیعی به غیر

طیف انعکاسی مجموعه مذکور با استفاده از اسپکتروفوتومتر Eye-One با هندسه اندازه‌گیری ۴۵° و در محدوده ۳۸۰ nm تا ۷۳۰ nm با گام‌های ۱۰ nm اندازه‌گیری شد. کلیه محاسبات و بررسی‌ها، با ۳۱ طول موج در محدوده ۴۰۰ nm تا ۷۰۰ nm انجام گرفت. محاسبه مقادیر مختصات رنگی نمونه‌ها، تحت منبع نوری D65 و مشاهده کننده استاندارد ۱۹۶۴ (۱۰°) انجام پذیرفته است.

جهت بررسی تعداد بردارهای ویژه لازم برای ارائه داده‌های انعکاس طیفی رنگزاهای طبیعی، هر دسته با تعداد ۱۰۰ تا ۱ بردار ویژه به دست آمده از همان دسته با روش PCA، مورد بازسازی قرار گرفت. همچنین نتایج بازسازی هر دسته با ۵ بردار ویژه اول کل مجموعه، یک مجموعه

آمده برای GFC، RMSE و همچنین متوسط اختلاف رنگ، بازسازی طیف این نمونه‌ها با ۱، ۰، ۹، ۸ و حتی ۷ بردار ویژه به هیچ وجه ضروری نمی‌باشد و به طور متوسط ۵ و حتی ۴ بردار ویژه کفايت می‌کند. با توجه به مقادیر خطای گزارش شده برای ۳ بردار ویژه، ملاحظه می‌شود با قبول خطای متوسط ۱ تا ۲ واحد CIEDE2000 (۱:۱:۱)، در مورد بسیاری از رنگزهای بازسازی داده‌های انعکاس طیفی در سه بعد امکان‌پذیر است. البته در برخی موارد مانند روناس، تغییر از ۴ بردار ویژه به ۳ بردار خطای قبل توجهی را سبب می‌شود.

در بخش دیگر از این تحقیق، خطای بازسازی طیفی دسته رنگزهای مختلف با ۵ بردار ویژه اول استخراج شده از کل مجموعه، کل مجموعه بجز نمونه‌های مربوط به رنگزای وسمه (فام آبی)، مجموعه مانسل و مجموعه نمونه‌های پلی استر رنگزی شده، محاسبه شده و برای مقایسه در کنار حالتی که بردارهای ویژه هر رنگرا از همان دسته استخراج شود، در جدول ۴ آورده شده است. ملاحظه می‌شود که در مقایسه بین به کارگیری بردارهای ویژه هر دسته برای خودش با بردارهای ویژه کل مجموعه، چنانچه انتظار می‌رفت تا اندازه‌ای خطأ زیاد می‌شود هرچند مقدار آن قبل توجه نمی‌باشد. به عبارتی به کارگیری بردارهای ویژه کل مجموعه کل رنگزای وسمه در مورد قابل قبولی دارد. حذف نمونه‌های مربوط به رنگزای وسمه در مورد اکثر دسته رنگزهای نتایج را تا اندازه بسیار اندکی بهبود می‌دهد اگرچه در مورد خود دسته وسمه مطابق انتظار، مقدار GFC کاهش و RMSE و اختلاف رنگ تحت منبع D65 افزایش یافته البته تا حدی مقادیر میانگین اختلاف رنگ تحت منبع نوری A کاهش یافته است.

- 1- Root of mean square error
- 2- Goodness-of- Fit Coefficient

از وسمه نیز جدا شده و نتایج ارائه هر دسته با بردارهای ویژه مجموعه مذکور، مورد بررسی قرار گرفت.

جهت بررسی خطای حاصل از بازسازی بعد از کاهش بعد، معیارهای (RMSE)، (GFC)^۱ و اختلاف رنگ تحت دو منبع نوری D65 و A مورد بررسی قرار گرفت. برای محاسبه GFC از رابطه ۶ استفاده شد. در این رابطه، R و \bar{R} به ترتیب مقادیر طیف‌های انعکاسی اولیه و بازسازی شده، می‌باشند.

$$GFC = \frac{\left| \sum_{\lambda} R_{\lambda} \hat{R}_{\lambda} \right|}{\sqrt{\left| \sum_{\lambda} R_{\lambda}^2 \right|} \sqrt{\left| \sum_{\lambda} \hat{R}_{\lambda}^2 \right|}} \quad (6)$$

برای محاسبه میزان اختلاف رنگ، فرمول اختلاف رنگ CIEDE2000(1:1:1) با رابطه نشان داده شده در ۷، استفاده شد [۱۵]. در این رابطه، ΔL^* ، ΔC^* و ΔH^* به ترتیب بیانگر اختلافات روشناگی، خلوص و فام در فضای ۱۹۷۶ CIELAB می‌باشند؛ S_L ، S_H و S_C ، توابع وزن برای روشناگی، خلوص و فام هستند و ضریب‌های k_L ، k_H و k_C وابسته به شرایط مشاهده می‌باشند.

$$CIEDE2000(k_L, k_C, k_H) = \sqrt{\left(\frac{\Delta L^*}{k_L S_L} \right)^2 + \left(\frac{\Delta C^*}{k_C S_C} \right)^2 + \left(\frac{\Delta H^*}{k_H S_H} \right)^2 + R_T \left(\frac{\Delta C^*}{k_C S_C} \right) \left(\frac{\Delta H^*}{k_H S_H} \right)} \quad (7)$$

۳- نتایج و بحث

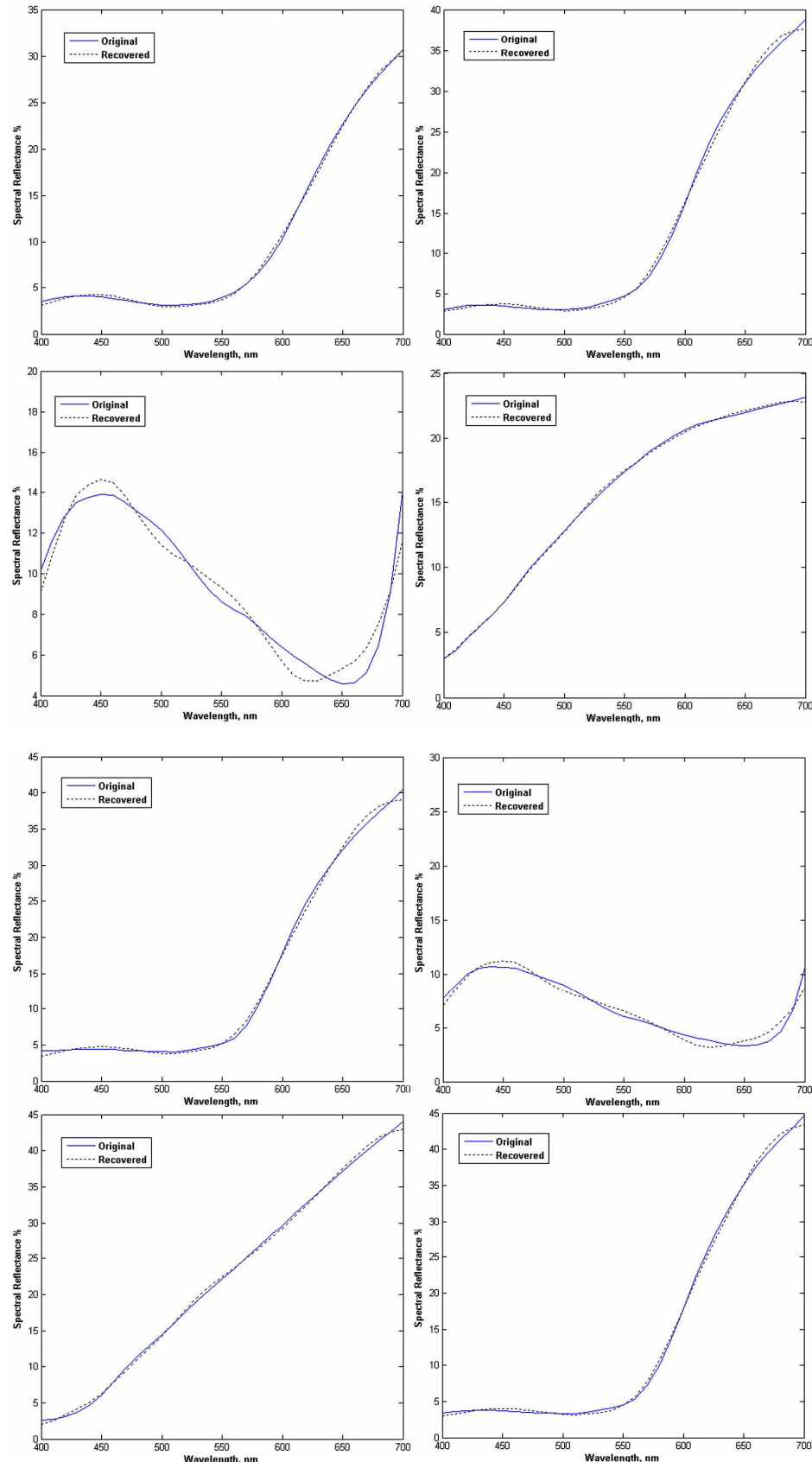
جدول ۳ نتایج بازسازی داده‌های انعکاس طیفی هر یک از دسته رنگزای طبیعی را با ۱۰ تا ۱ بردار ویژه به دست آمده از همان دسته نشان می‌دهد. چنانچه ملاحظه می‌شود با توجه به مقادیر به دست

جدول ۳: نتایج ارائه طیف انعکاسی دسته‌های مختلف از مجموعه رنگزهای طبیعی با به کارگیری ۱۰ تا ۱ بردار ویژه استخراج شده از همان مجموعه. ستون اول کل نمونه‌ها را شامل می‌شود. مقادیر داخل پرانتز تعداد نمونه‌های دارای٪۹۰ اختلاف رنگ حداقل می‌باشد.

		کل	انار	انگور	گرد و	ارونه	روناس	گلرنگ	چغندر	سماق	اسپرک	زلیل	وسمه	مخلوط
۱۰	GFC	۱,۰۰۰۰	۱,۰۰۰۰	۱,۰۰۰۰	۱,۰۰۰۰	۱,۰۰۰۰	۱,۰۰۰۰	۱,۰۰۰۰	۱,۰۰۰۰	۱,۰۰۰۰	۱,۰۰۰۰	۱,۰۰۰۰	۱,۰۰۰۰	۱,۰۰۰۰
	RMSE	۰,۰۰۰۶	۰,۰۰۰۳	۰,۰۰۰۷	۰,۰۰۰۲	۰,۰۰۰۴	۰,۰۰۱۰	۰,۰۰۰۳	۰,۰۰۱۱	۰,۰۰۰۵	۰,۰۰۱۱	۰,۰۰۰۲	۰,۰۰۰۳	۰,۰۰۰۴
	ΔE_{ab} (D65)	۰,۰۱۲	۰,۰۰۸	۰,۰۲۹	۰,۰۰۵	۰,۰۰۸	۰,۰۵۰	۰,۰۱۱	۰,۰۱۷	۰,۰۰۴	۰,۰۱۰	۰,۰۲۵	۰,۰۱۵	۰,۰۱۴
	ΔE_{ab} (A)	(۳)	(۱)	(۱)	(۲)	(۲)	(۱)	(۱)	(۳)	(۱)	(۳)	(۱)	(۱)	(۲)
۹	GFC	۱,۰۰۰۰	۱,۰۰۰۰	۱,۰۰۰۰	۱,۰۰۰۰	۱,۰۰۰۰	۱,۰۰۰۰	۱,۰۰۰۰	۱,۰۰۰۰	۱,۰۰۰۰	۱,۰۰۰۰	۰,۹۹۹۹	۱,۰۰۰۰	۱,۰۰۰۰
	RMSE	۰,۰۰۰۸	۰,۰۰۰۲	۰,۰۰۰۷	۰,۰۰۰۲	۰,۰۰۰۴	۰,۰۰۱۳	۰,۰۰۰۵	۰,۰۰۱۲	۰,۰۰۰۵	۰,۰۰۱۲	۰,۰۰۰۲	۰,۰۰۰۹	۰,۰۰۰۶
	ΔE_{ab} (D65)	۰,۰۱۸	۰,۰۰۸	۰,۰۳۰	۰,۰۰۶	۰,۰۰۶	۰,۱۸۰	۰,۰۰۴	۰,۰۶۱	۰,۰۱۷	۰,۰۱۸	۰,۰۲۵	۰,۰۱۴	۰,۰۴۵
	ΔE_{ab} (A)	(۳)	(۱)	(۱)	(۱)	(۲)	(۲)	(۱)	(۳)	(۲)	(۳)	(۱)	(۱)	(۱)

جدول ۳: ادامه

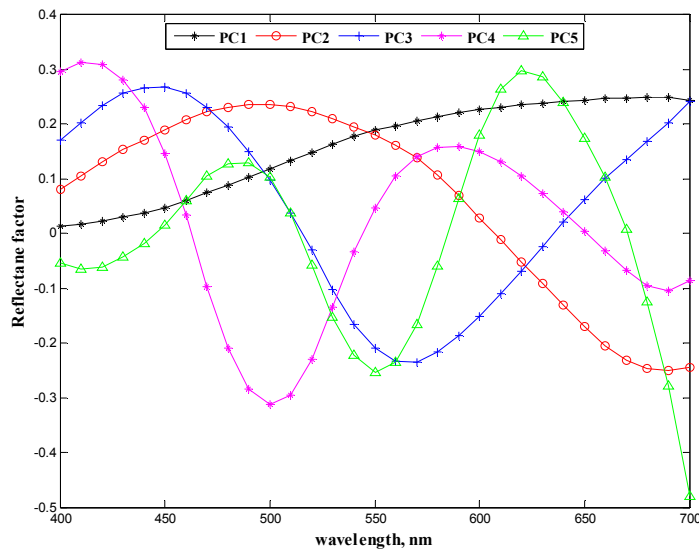
	کل	انار	انگور	گردو	ارونه	روناس	گلرنگ	چغندر	سماق	اسپرک	زیل	وسمه	مخلوط
GFC	۱,۰۰۰۰	۱,۰۰۰۰	۱,۰۰۰۰	۱,۰۰۰۰	۱,۰۰۰۰	۱,۰۰۰۰	۱,۰۰۰۰	۰,۹۹۹۹	۱,۰۰۰۰	۱,۰۰۰۰	۱,۰۰۰۰	۰,۹۹۹۹	۱,۰۰۰۰
RMSE	۰,۰۰۱۱	۰,۰۰۰۳	۰,۰۰۱۰	۰,۰۰۰۳	۰,۰۰۰۴	۰,۰۰۱۴	۰,۰۰۰۷	۰,۰۰۲۷	۰,۰۰۰۸	۰,۰۰۱۶	۰,۰۰۰۲	۰,۰۰۱۱	۰,۰۰۰۸
ΔE_{ab} (D65)	۰,۰۰۵۱	۰,۰۰۰۷	۰,۰۰۲۶	۰,۰۰۱۸	۰,۰۰۰۸	۰,۱۲۰	۰,۰۰۱۳	۰,۱۱۰	۰,۰۰۴۷	۰,۰۰۵۶	۰,۰۰۳۰	۰,۰۰۸۷	۰,۱۳۴
	(۲)	(۱)	(۱)	(۲)	(۲)	(۴)	(۱)	(۳)	(۲)	(۳)	(۲)	(۴)	(۱)
ΔE_{ab} (A)	۰,۰۰۲۴	۰,۰۰۰۴	۰,۰۰۲۷	۰,۰۰۲۱	۰,۰۰۰۶	۰,۱۱۷	۰,۰۰۰۷	۰,۱۲۷	۰,۰۰۴۸	۰,۰۰۵۲	۰,۰۰۱۳	۰,۰۰۱۹	۰,۰۰۸۰
	(۲)	(۳)	(۴)	(۱)	(۲)	(۴)	(۲)	(۴)	(۲)	(۲)	(۳)	(۲)	(۱)
GFC	۰,۹۹۹۹	۱,۰۰۰۰	۱,۰۰۰۰	۱,۰۰۰۰	۱,۰۰۰۰	۰,۹۹۹۳	۱,۰۰۰۰	۰,۹۹۹۹	۱,۰۰۰۰	۱,۰۰۰۰	۱,۰۰۰۰	۰,۹۹۹۸	۱,۰۰۰۰
RMSE	۰,۰۰۱۶	۰,۰۰۰۶	۰,۰۰۱۴	۰,۰۰۰۴	۰,۰۰۰۸	۰,۰۰۱۴	۰,۰۰۰۸	۰,۰۰۲۸	۰,۰۰۱۱	۰,۰۰۱۹	۰,۰۰۰۳	۰,۰۰۱۳	۰,۰۰۱۰
ΔE_{ab} (D65)	۰,۰۰۷۷	۰,۰۰۳۷	۰,۰۰۸۰	۰,۰۰۹	۰,۰۰۴۴	۳,۰۲۸	۰,۰۱۶	۰,۱۳۹	۰,۰۴۴	۰,۰۴۶	۰,۰۴۱	۰,۲۴۴	۰,۱۴۹
	(۱)	(۴)	(۵)	(۱)	(۵)	(۳)	(۱)	(۲)	(۲)	(۲)	(۲)	(۴)	(۱)
ΔE_{ab} (A)	۰,۰۰۴۵	۰,۰۰۴۸	۰,۰۰۶۰	۰,۰۰۷۳	۰,۰۰۲۵	۲,۰۹۲	۰,۰۱۰	۰,۱۴۳	۰,۰۴۲	۰,۰۳۴	۰,۰۲۷	۰,۰۰۵۵	۰,۰۹۴
	(۱)	(۳)	(۲)	(۱)	(۴)	(۲)	(۲)	(۲)	(۱)	(۱)	(۳)	(۲)	(۱)
GFC	۰,۹۹۹۷	۱,۰۰۰۰	۰,۹۹۹۹	۱,۰۰۰۰	۱,۰۰۰۰	۰,۹۹۹۰	۱,۰۰۰۰	۰,۹۹۹۹	۱,۰۰۰۰	۱,۰۰۰۰	۱,۰۰۰۰	۰,۹۹۹۸	۰,۹۹۹۹
RMSE	۰,۰۰۱۶	۰,۰۰۰۸	۰,۰۰۲۲	۰,۰۰۰۵	۰,۰۰۰۹	۰,۰۰۹۸	۰,۰۰۱۱	۰,۰۰۲۸	۰,۰۰۱۳	۰,۰۰۲۶	۰,۰۰۰۴	۰,۰۰۱۳	۰,۰۰۱۴
ΔE_{ab} (D65)	۰,۰۰۵۱	۰,۰۰۹۰	۰,۰۱۱۷	۰,۰۱۰۴	۰,۰۰۹۲	۲,۴۸۹	۰,۰۰۵۵	۰,۱۳۴	۰,۰۶۹	۰,۰۷۵	۰,۰۴۳	۰,۲۳۳	۰,۱۷۱
	(۱۳)	(۶)	(۴)	(۲)	(۱)	(۳)	(۱)	(۲)	(۲)	(۱)	(۱)	(۴)	(۱)
ΔE_{ab} (A)	۰,۰۰۵۹	۰,۰۰۸۷	۰,۰۰۸۰	۰,۰۰۸۹	۰,۰۰۴۰	۱,۸۸۸	۰,۰۰۴۲	۰,۱۳۹	۰,۰۷۳	۰,۰۸۷	۰,۰۳۷	۰,۰۵۸	۰,۱۳۴
	(۱۲)	(۷)	(۱)	(۳)	(۱)	(۳)	(۱)	(۳)	(۱)	(۲)	(۱)	(۴)	(۱)
GFC	۰,۹۹۹۶	۰,۹۹۹۹	۱,۰۰۰۰	۱,۰۰۰۰	۱,۰۰۰۰	۰,۹۹۸۶	۱,۰۰۰۰	۰,۹۹۹۹	۰,۹۹۹۹	۰,۹۹۹۹	۱,۰۰۰۰	۰,۹۹۹۶	۰,۹۹۹۸
RMSE	۰,۰۰۱۹	۰,۰۰۱۷	۰,۰۰۰۷	۰,۰۰۰۷	۰,۰۰۱۷	۰,۰۰۱۳	۰,۰۰۱۸	۰,۰۰۳۱	۰,۰۰۲۵	۰,۰۰۲۹	۰,۰۰۰۵	۰,۰۰۲۰	۰,۰۰۳۱
ΔE_{ab} (D65)	۰,۰۰۵۱	۰,۰۰۸۹	۰,۰۲۴۷	۰,۰۲۴۷	۰,۰۰۹۰	۳,۷۱۱	۰,۱۱۰	۰,۳۲۷	۰,۴۳۴	۰,۱۱۷	۰,۳۳۱	۰,۲۶۴	۰,۰۱۸
	(۱)	(۴)	(۴)	(۸)	(۱)	(۲)	(۱)	(۱)	(۲)	(۱)	(۱)	(۴)	(۱)
ΔE_{ab} (A)	۰,۰۴۳۷	۰,۰۰۲۲	۰,۱۸۳	۰,۱۸۳	۰,۰۸۰	۲,۱۷۱	۰,۰۶۴	۰,۲۰۲	۰,۴۲۲	۰,۱۲۷	۰,۲۱۸	۰,۴۳۶	۰,۴۸۰
	(۱)	(۲)	(۱)	(۵)	(۱)	(۲)	(۱)	(۱)	(۲)	(۱)	(۳)	(۴)	(۱)
GFC	۰,۹۹۸۵	۰,۹۹۹۵	۰,۹۹۹۲	۰,۹۹۹۹	۰,۹۹۹۹	۰,۹۹۸۹	۰,۹۹۹۹	۰,۹۹۹۷	۰,۹۹۹۹	۰,۹۹۹۵	۱,۰۰۰۰	۰,۹۹۸۸	۰,۹۹۸۸
RMSE	۰,۰۰۶۹	۰,۰۰۴۶	۰,۰۰۶۸	۰,۰۰۱۲	۰,۰۰۳۱	۰,۰۱۷۱	۰,۰۰۳۲	۰,۰۰۶۲	۰,۰۰۳۶	۰,۰۰۹۱	۰,۰۰۰۶	۰,۰۰۳۶	۰,۰۰۶۴
ΔE_{ab} (D65)	۱,۴۳۳	۰,۱۷۴	۲,۱۵۸	۰,۱۷۵	۰,۳۹۴	۲,۸۶۶	۰,۴۰۵	۰,۵۲۵	۰,۳۷۰	۰,۶۲۳	۰,۳۱۲	۱,۹۹۹	۰,۶۱۴
	(۳)	(۶)	(۲)	(۱)	(۱)	(۵)	(۲)	(۱)	(۲)	(۱)	(۳)	(۶)	(۱)
ΔE_{ab} (A)	۱,۴۱۱	۰,۳۶۳	۱,۲۴۵	۰,۱۲۶	۰,۴۸۷	۲,۱۷۷	۰,۴۸۶	۰,۵۸۳	۰,۳۷۵	۰,۶۴۴	۰,۱۹۰	۲,۰۶۵	۰,۹۷۷
	(۳)	(۶)	(۲)	(۱)	(۱)	(۵)	(۱)	(۱)	(۲)	(۱)	(۱)	(۵)	(۱)
GFC	۰,۹۹۷۸	۰,۹۹۹۴	۰,۹۹۹۱	۰,۹۹۹۸	۰,۹۹۹۷	۰,۹۹۹۷	۰,۹۹۹۴	۰,۹۹۷۶	۰,۹۹۲۷	۰,۹۶۹۷	۰,۹۹۹۱	۰,۹۹۶۷	۰,۹۹۸۴
RMSE	۰,۰۰۸۸	۰,۰۰۰۵	۰,۰۰۰۱	۰,۰۰۰۰	۰,۰۰۶۱	۰,۰۰۲۰	۰,۰۰۰۸۶	۰,۰۱۷۱	۰,۰۲۷۵	۰,۰۷۱۱	۰,۰۰۰۳۰	۰,۰۰۶۰	۰,۰۰۷۷
ΔE_{ab} (D65)	۱,۴۹۱	۰,۶۴۳	۲,۰۲۲۴	۱,۳۶۸	۱,۲۸۶	۷,۷۵۹	۲,۳۸۳	۲,۳۶۲	۳,۳۹۷	۳,۷۶۶	۱,۲۷۰	۱,۶۵۷	۱,۰۵۷
	(۱)	(۲)	(۳)	(۵)	(۱)	(۸)	(۵)	(۱)	(۲)	(۳)	(۳)	(۴)	(۲)
ΔE_{ab} (A)	۱,۲۱۹	۱,۰۷۲	۱,۳۲۹	۰,۹۲۸	۱,۰۵۲	۶,۵۷۴	۱,۶۵۶	۱,۳۴۸	۱,۷۱۳	۴,۶۶۸	۱,۲۰۲	۱,۰۰۸	۱,۰۰۸۲
	(۳)	(۲)	(۱)	(۸)	(۸)	(۸)	(۴)	(۱)	(۲)	(۳)	(۹)	(۱)	(۱)
GFC	۰,۹۷۸۱	۰,۹۹۹۳	۰,۹۹۸۹	۰,۹۹۹۶	۰,۹۹۸۹	۰,۹۶۱۶	۰,۹۹۴۶	۰,۹۹۴۹	۰,۹۸۷۸	۰,۹۶۹۳	۰,۹۹۷۸	۰,۹۹۶۶	۰,۹۸۵۸
RMSE	۰,۰۲۷۵	۰,۰۰۰۹	۰,۰۱۲۸	۰,۰۰۰۷	۰,۰۱۲۱	۰,۰۵۹۸	۰,۰۰۲۷۳	۰,۰۲۴۸	۰,۰۳۵۷	۰,۰۷۱۸	۰,۰۰۰۴۶	۰,۰۰۰۶	۰,۰۲۳۴
ΔE_{ab} (D65)	۱,۱۰۱۲	۱,۱۳۰	۲,۱۱۳	۱,۵۲۴	۳,۶۲۰	۱۰,۵۰۴	۲,۹۶۶	۸,۰۹۷	۴,۰۵۶	۵,۲۲۶	۲,۱۰۵	۱,۶۶۶	۱,۰۲۹۱
	(۷)	(۲)	(۴)	(۱)	(۱)	(۲)	(۱)	(۲)	(۱)	(۱)	(۴)	(۶)	(۲)
ΔE_{ab} (A)	۱,۰۰۱۴	۱,۰۴۲	۱,۷۵۴	۱,۱۰۹	۲,۸۸۷	۱۰,۷۴۲	۲,۷۱۷	۶,۲۰۸	۴,۳۵۸	۵,۷۸۵	۱,۹۵۲	۱,۸۲۲	۰,۹۷۵
	(۱۷)	(۴)	(۱)	(۲)	(۱)	(۲)	(۱)	(۱)	(۷)	(۴)	(۱)	(۴)	(۲)
GFC	۰,۹۵۱۸	۰,۹۹۷۴	۰	۰,۹۹۱۷	۰,۹۸۸۵	۰,۹۵۶۹	۰,۹۶۱۲	۰,۸۶۹۱	۰,۹۸۲۷	۰,۹۵۹۹	۰,۹۶۶۶	۰,۹۹۲۰	۰,۹۷۰۴
RMSE	۰,۰۴۰۲	۰,۰۱۰۶	۰,۰۱۹۹	۰,۰۱۲۱	۰,۰۳۹۳	۰,۰۶۳۵	۰,۰۷۵۳	۰,۱۲۱۱	۰,۰۴۳۹	۰,۰۸۴۱	۰,۰۰۰۷	۰,۰۰۸۹	۰,۰۳۴۰
ΔE_{ab} (D65)	۱,۱۲۸۲	۲,۰۰۵۳	۳,۶۷۱	۴,۶۴۱	۵,۳۰۶	۸,۴۶۲	۹,۰۱۹	۱۸,۳۶۴	۶,۵۳۴	۶,۹۶۶	۱,۷۳۳	۴,۳۶۱	۱۱,۳۹۴
	(۷۷)	(۱)	(۲)	(۱۴)	(۱)	(۱۰)	(۱۴)	(۵)	(۲)	(۱)	(۳)	(۳)	(۲)
ΔE_{ab} (A)	۱,۰۰۸۵	۱,۰۸۵	۲,۴۱۰	۳,۹۷۰	۵,۸۱۵	۸,۶۴۱	۸,۶۹۸	۱۹,۸۹۱	۶,۹۶۴	۷,۱۱۱	۱,۵۷۹	۴,۰۷۲	۹,۹۱۸
	(۷۶)	(۱)	(۲)	(۱۸)	(۱)	(۱۱)	(۱۴)	(۷)	(۱)	(۳)	(۴)	(۳)	(۲)



شکل ۲: منحنی‌های انعکاس طیفی ۸ نمونه پشم رنگرزی شده با رنگزهای طبیعی به همراه منحنی بازسازی شده با ۵ بردار ویژه اول از کل مجموعه نمونه.

جدول ۴: نتایج ارائه طیف انعکاسی دسته‌های مختلف از مجموعه رنگزهای طبیعی با بکارگیری ۵ بردار ویژه استخراج شده از همان دسته، مجموعه کل رنگزهای طبیعی، مجموعه کل رنگزهای طبیعی بجز وسمه، مجموعه پلی استر و مانسل.

	کل	انار	انگور	گردو	ارونه	روناس	گلرنگ	چغندر	سماق	اسپرک	زلیل	وسمه	مانسل	مخلوط
همان دسته	GFC	۰,۹۹۹۶	۰,۹۹۹۹	۱,۰۰۰۰	۱,۰۰۰۰	۰,۹۹۸۶	۱,۰۰۰۰	۰,۹۹۹۹	۰,۹۹۹۹	۰,۹۹۹۹	۱,۰۰۰۰	۰,۹۹۹۶	۰,۹۹۹۸	
	RMSE	۰,۰۰۳۹	۰,۰۰۱۷	۰,۰۰۰۷	۰,۰۰۰۷	۰,۰۰۱۷	۰,۰۱۱۳	۰,۰۰۱۸	۰,۰۰۳۱	۰,۰۰۲۵	۰,۰۰۲۹	۰,۰۰۰۵	۰,۰۰۲۰	۰,۰۰۳۱
	ΔE_{ab} (D65)	۰,۵۱۱	۰,۰۱۸۹	۰,۲۴۷	۰,۲۴۷	۰,۰۹۰	۲,۷۱۱	۰,۱۱۰	۰,۳۲۷	۰,۴۳۴	۰,۱۱۷	۰,۳۲۱	۰,۲۶۴	۰,۵۱۸
	ΔE_{ab} (A)	۰,۴۳۷	۰,۰۷۲	۰,۱۸۳	۰,۱۸۳	۰,۰۸۰	۲,۱۷۱	۰,۰۶۴	۰,۲۰۲	۰,۴۲۲	۰,۱۲۷	۰,۲۱۸	۰,۴۳۶	۰,۴۸۰
کل رنگزهای طبیعی و مخلوط	GFC	۰,۹۹۹۶	۰,۹۹۹۹	۰,۹۹۹۹	۰,۹۹۹۷	۰,۹۹۹۹	۰,۹۹۹۷	۰,۹۹۹۸	۰,۹۹۹۷	۰,۹۹۹۸	۰,۹۹۹۸	۰,۹۹۶۸	۰,۹۹۹۸	
	RMSE	۰,۰۰۳۹	۰,۰۰۳۳	۰,۰۰۲۸	۰,۰۰۲۲	۰,۰۰۴۴	۰,۰۰۴۱	۰,۰۰۵۳	۰,۰۰۲۲	۰,۰۰۴۲	۰,۰۰۶۵	۰,۰۰۲۱	۰,۰۰۶۰	۰,۰۰۳۳
	ΔE_{ab} (D65)	۰,۵۱۱	۰,۳۹۹	۰,۳۶۷	۰,۳۴۰	۰,۵۸۶	۰,۵۶۸	۰,۵۷۰	۰,۳۴۰	۰,۴۷۶	۰,۷۶۵	۰,۶۶۵	۰,۶۵۰	۰,۴۴۰
	ΔE_{ab} (A)	۰,۴۳۷	۰,۲۱۲	۰,۲۸۹	۰,۲۹۶	۰,۴۲۲	۰,۴۱۵	۰,۴۵۲	۰,۲۹۶	۰,۳۹۷	۰,۶۰۴	۰,۵۰۵	۱,۰۷۱	۰,۳۵۹
کل رنگزهای طبیعی و مخلوط	GFC	۰,۹۹۹۸	۰,۹۹۹۹	۰,۹۹۹۹	۰,۹۹۹۷	۰,۹۹۹۹	۰,۹۹۹۸	۰,۹۹۹۹	۰,۹۹۹۸	۰,۹۹۹۸	۰,۹۹۹۵	۰,۹۹۲۷	۰,۹۹۹۸	
	RMSE	۰,۰۰۳۵	۰,۰۰۲۹	۰,۰۰۲۷	۰,۰۰۲۴	۰,۰۰۴۸	۰,۰۰۳۵	۰,۰۰۴۱	۰,۰۰۵۲	۰,۰۰۴۴	۰,۰۰۶۳	۰,۰۰۲۳	۰,۰۰۹۰	۰,۰۰۳۰
	ΔE_{ab} (D65)	۰,۴۸۸	۰,۳۷۸	۰,۳۷۶	۰,۳۶۱	۰,۶۳۵	۰,۵۰۲	۰,۵۱۶	۰,۷۴۲	۰,۴۵۳	۰,۷۶۰	۰,۷۲۰	۰,۷۶۲	۰,۴۲۸
	ΔE_{ab} (A)	۰,۳۸۲	۰,۲۸۵	۰,۲۸۴	۰,۳۰۶	۰,۴۶۷	۰,۳۶۵	۰,۴۱۸	۰,۵۶۳	۰,۳۶۴	۰,۶۱۴	۰,۵۵۷	۰,۹۹۳	۰,۳۴۴
پلی استر	GFC	۰,۹۹۷۶	۰,۹۹۷۸	۰,۹۹۷۵	۰,۹۹۸۷	۰,۹۹۷۷	۰,۹۹۸۹	۰,۹۹۸۵	۰,۹۹۹۰	۰,۹۹۵۸	۰,۹۹۷۳	۰,۹۹۸۴	۰,۹۹۰۴	۰,۹۹۸۴
	RMSE	۰,۰۱۲۲	۰,۰۱۳۹	۰,۰۱۴۳	۰,۰۰۵۲	۰,۰۱۹۷	۰,۰۰۸۳	۰,۰۱۵۷	۰,۰۱۱۸	۰,۰۲۲۷	۰,۰۲۳۱	۰,۰۰۴۲	۰,۰۱۰۴	۰,۰۰۹۸
	ΔE_{ab} (D65)	۱,۴۷۱	۱,۷۰۵	۱,۷۶۵	۱,۱۰۶	۱,۸۶۸	۰,۷۶۶	۱,۴۲۴	۱,۱۳۴	۲,۴۴۴	۱,۷۴۶	۰,۹۰۳	۲,۵۹۰	۱,۲۹۵
	ΔE_{ab} (A)	۱,۴۵۲	۱,۷۰۱	۱,۷۰۲	۱,۰۶۵	۱,۷۷۶	۰,۷۲۰	۱,۴۳۴	۱,۰۸۵	۲,۳۲۷	۱,۷۳۴	۰,۹۵۰	۲,۷۸۴	۱,۲۵۹
مانسل	GFC	۰,۹۹۶۸	۰,۹۹۷۸	۰,۹۹۸۳	۰,۹۹۶۸	۰,۹۹۹۰	۰,۹۹۵۴	۰,۹۹۸۸	۰,۹۹۹۳	۰,۹۹۷۴	۰,۹۹۸۲	۰,۹۹۷۹	۰,۹۸۷۶	۰,۹۹۸۱
	RMSE	۰,۰۱۲۶	۰,۰۱۳۸	۰,۰۱۱۴	۰,۰۰۷۹	۰,۰۱۲۶	۰,۰۱۶۶	۰,۰۱۳۶	۰,۰۰۸۹	۰,۰۱۷۲	۰,۰۱۸۴	۰,۰۰۴۷	۰,۱۱۸	۰,۰۰۹۴
	ΔE_{ab} (D65)	۰,۸۰۳	۰,۹۸۳	۱,۰۰۱	۰,۵۸۷	۰,۷۸۲	۱,۰۰۸	۰,۶۳۷	۰,۵۰۶	۱,۳۹۶	۰,۹۴۰	۰,۲۹۷	۰,۴۸۰	۰,۷۲۰
	ΔE_{ab} (A)	۰,۹۳۹	۱,۱۲۵	۱,۰۷۳	۰,۷۷۸	۰,۸۷۰	۱,۰۳۴	۰,۷۷۶	۰,۵۰۷	۱,۴۵۱	۱,۰۹۲	۰,۵۱۶	۰,۱۹۸	۰,۸۴۶



شکل ۳: ۵ بردار ویژه اول کل مجموعه رنگزهای طبیعی.

کافی به نظر می‌رسد.

همچنین نشان داده شد که بهترین بردارهای ویژه برای بازسازی داده‌های انعکاس طیفی چنین رنگزهایی، از مجموعه حاکم خودشان شامل رنگزهای طبیعی بدست می‌آید. به نظر می‌رسد، چنانچه استفاده از مجموعه‌ای نظیر مانسل مدنظر باشد برای رسیدن به دقت مشابه به کارگیری تعداد بردارهای ویژه بیشتری لازم است. برای بررسی بیشتر این موضوع، نتایج بازسازی داده‌های انعکاس طیفی رنگزهای طبیعی با ۶ و همچنین ۷ بردار ویژه اول مجموعه پلی‌استر و همچنین مانسل در جدول ۶ و ۷ آورده شده است. ملاحظه می‌شود که با به کارگیری ۷ بردار ویژه اول مانسل، تقریباً می‌توان به نتایج مشابه با ۵ بردار ویژه مجموعه رنگزای طبیعی دست یافت هرچند هنوز تا اندازه‌ای خطای بیشتر است. در مورد مجموعه پلی‌استر، چنین به نظر می‌رسد برای رسیدن به دقت مشابه، همچنان تعداد بردارهای ویژه بیشتری نیاز است.

البته چنانچه پیش از این نیز اشاره شد، با توجه به ماهیت رنگزهای طبیعی که اکثراً دارای فامهای قرمز تا زرد و در مواردی آبی، می‌باشند مجموعه نمونه‌های مورد استفاده در این تحقیق بیشتر ربع اول فضای CIELAB را به همراه بخشی از فامهای آبی، پوشش می‌دهند. لذا برای داشتن تحلیل جامع تر، نیاز به تهیه مجموعه کامل‌تری از رنگزهای ترکیبی است که برای تحقیقات بعدی مدنظر می‌باشد.

در به کارگیری مجموعه پلی‌استر رنگزی شده به عنوان مجموعه مرجع بردارهای PC، با وجود پوشش مناسب‌تر محدوده رنگی توسط این دسته نسبت به مجموعه رنگزهای طبیعی، خطا تقریباً ۲ تا ۳ برابر می‌شود. همچنین با بررسی نتایج حاصل از مجموعه مانسل، ملاحظه می‌شود بردارهای ویژه حاصل از مانسل نسبت به مجموعه پلی‌استر خطای کمتر و نسبت به مجموعه رنگزهای طبیعی خطای بیشتری را سبب می‌شوند.

شکل ۲ منحنی‌های طیف انعکاسی ۸ نمونه انتخابی به صورت تصادفی از مجموعه نمونه‌های پشم رنگزی شده با رنگزهای طبیعی را به همراه نمونه‌های بازسازی شده با ۵ بردار ویژه اول استخراج شده از کل مجموعه، نشان می‌دهد. همچنین ۵ بردار ویژه اول مجموعه کامل رنگزهای طبیعی در شکل ۳ آورده شده است.

در یک جمع‌بندی کلی چنین به نظر می‌رسد که رنگزهای طبیعی با توجه به داشتن شیدهای خاص (قرمز تا زرد و آبی) و همچنین منحنی‌های انعکاسی بسیار هموار و مشابه، به راحتی و با خطای قابل قبولی در حد میانگین GFC برابر ۰,۹۹۹ و میانگین اختلاف رنگ حدود ۰,۵ واحد (CIEDE2000(1:1:1)، با تعداد ۵ بردار ویژه قابل بازسازی می‌باشند. جدول ۵ مقادیر ضریب ثابت μ توضیح داده شده در رابطه ۵ را برای مجموعه کامل رنگزهای طبیعی نشان می‌دهد. چنانچه از مقادیر گزارش شده در این جدول نیز ملاحظه می‌شود، به کارگیری حداقل ۴ تا ۵ بردار ویژه اول برای بازسازی مجموعه

جدول ۵: مقادیر ضریب ثابت μ (رابطه ۵)، برای مجموعه کامل رنگزهای طبیعی.

بردار ویژه	شماره	۱	۲	۳	۴	۵	۶	۷	۸	۹	۱۰	۱۱	۱۲	۱۳	۱۴
μ	۸۶,۵۳۴	۹,۹۶۶	۲,۸۳۶	۰,۴۱۵	۰,۱۲۸	۰,۰۶۵	۰,۰۲۶	۰,۰۱۹	۰,۰۰۶	۰,۰۰۳	۰,۰۰۲	۰,۰۰۱	۰	۰	۰

* از آنجاکه مقادیر مربوط به بردار ویژه ۱۵ تا ۳۱ نیز صفر بوده، در جدول نشان داده نشده است.

جدول ۶: نتایج ارائه طیف انعکاسی دسته‌های مختلف از مجموعه رنگزهای طبیعی با به کارگیری ۶ بردار ویژه استخراج شده از مجموعه پلی‌استر و مانسل.

	مخلفو	وسمه	زیلی	اسپرک	سماق	غلرنگ	چغندر	روناس	ارونه	گردو	انگور	انار	کل	انار	انگور	GFC
	۰,۹۹۸۴	۰,۹۹۱۰	۰,۹۹۸۵	۰,۹۹۷۴	۰,۹۹۷۶	۰,۹۹۵۹	۰,۹۹۷۴	۰,۹۹۸۵	۰,۹۹۸۵	۰,۹۹۷۴	۰,۹۹۷۷	۰,۹۹۷۹	۰,۹۹۷۷	۰,۹۹۷۹	۰,۹۹۷۷	GFC
۱۵	۰,۹۰۹۷	۰,۹۰۱۰	۰,۹۰۰۶	۰,۹۰۰۲	۰,۹۰۰۱	۰,۹۰۰۱	۰,۹۰۰۲	۰,۹۰۰۲	۰,۹۰۰۳	۰,۹۰۰۳	۰,۹۰۰۴	۰,۹۰۰۴	۰,۹۰۰۴	۰,۹۰۰۴	۰,۹۰۰۴	RMSE
۱۴	۱,۲۷۰	۱,۲۷۰	۱,۲۷۰	۱,۲۷۰	۱,۲۷۰	۱,۲۷۰	۱,۲۷۰	۱,۲۷۰	۱,۲۷۰	۱,۲۷۰	۱,۲۷۰	۱,۲۷۰	۱,۲۷۰	۱,۲۷۰	۱,۲۷۰	ΔE_{ab} (D65)
۱۳	۱,۴۵۸	۱,۴۵۸	۱,۴۵۸	۱,۴۵۸	۱,۴۵۸	۱,۴۵۸	۱,۴۵۸	۱,۴۵۸	۱,۴۵۸	۱,۴۵۸	۱,۴۵۸	۱,۴۵۸	۱,۴۵۸	۱,۴۵۸	۱,۴۵۸	GFC
۱۲	۱,۳۹۵	۱,۳۹۵	۱,۳۹۵	۱,۳۹۵	۱,۳۹۵	۱,۳۹۵	۱,۳۹۵	۱,۳۹۵	۱,۳۹۵	۱,۳۹۵	۱,۳۹۵	۱,۳۹۵	۱,۳۹۵	۱,۳۹۵	۱,۳۹۵	ΔE_{ab} (A)
۱۱	۱,۷۳۵	۱,۷۳۵	۱,۷۳۵	۱,۷۳۵	۱,۷۳۵	۱,۷۳۵	۱,۷۳۵	۱,۷۳۵	۱,۷۳۵	۱,۷۳۵	۱,۷۳۵	۱,۷۳۵	۱,۷۳۵	۱,۷۳۵	۱,۷۳۵	RMSE
۱۰	۱,۱۴۲	۱,۱۴۲	۱,۱۴۲	۱,۱۴۲	۱,۱۴۲	۱,۱۴۲	۱,۱۴۲	۱,۱۴۲	۱,۱۴۲	۱,۱۴۲	۱,۱۴۲	۱,۱۴۲	۱,۱۴۲	۱,۱۴۲	۱,۱۴۲	ΔE_{ab} (D65)
۹	۰,۹۹۷۹	۰,۹۹۷۹	۰,۹۹۷۹	۰,۹۹۷۹	۰,۹۹۷۹	۰,۹۹۷۸	۰,۹۹۷۸	۰,۹۹۷۸	۰,۹۹۷۸	۰,۹۹۷۸	۰,۹۹۷۹	۰,۹۹۷۹	۰,۹۹۷۹	۰,۹۹۷۹	۰,۹۹۷۹	GFC
۸	۰,۹۹۷۷	۰,۹۹۷۷	۰,۹۹۷۷	۰,۹۹۷۷	۰,۹۹۷۷	۰,۹۹۷۶	۰,۹۹۷۶	۰,۹۹۷۶	۰,۹۹۷۶	۰,۹۹۷۶	۰,۹۹۷۷	۰,۹۹۷۷	۰,۹۹۷۷	۰,۹۹۷۷	۰,۹۹۷۷	چغندر
۷	۰,۹۹۷۶	۰,۹۹۷۶	۰,۹۹۷۶	۰,۹۹۷۶	۰,۹۹۷۶	۰,۹۹۷۵	۰,۹۹۷۵	۰,۹۹۷۵	۰,۹۹۷۵	۰,۹۹۷۵	۰,۹۹۷۶	۰,۹۹۷۶	۰,۹۹۷۶	۰,۹۹۷۶	۰,۹۹۷۶	روناس
۶	۰,۹۹۷۵	۰,۹۹۷۵	۰,۹۹۷۵	۰,۹۹۷۵	۰,۹۹۷۵	۰,۹۹۷۴	۰,۹۹۷۴	۰,۹۹۷۴	۰,۹۹۷۴	۰,۹۹۷۴	۰,۹۹۷۵	۰,۹۹۷۵	۰,۹۹۷۵	۰,۹۹۷۵	۰,۹۹۷۵	ارونه
۵	۰,۹۹۷۴	۰,۹۹۷۴	۰,۹۹۷۴	۰,۹۹۷۴	۰,۹۹۷۴	۰,۹۹۷۳	۰,۹۹۷۳	۰,۹۹۷۳	۰,۹۹۷۳	۰,۹۹۷۳	۰,۹۹۷۴	۰,۹۹۷۴	۰,۹۹۷۴	۰,۹۹۷۴	۰,۹۹۷۴	گردو
۴	۰,۹۹۷۳	۰,۹۹۷۳	۰,۹۹۷۳	۰,۹۹۷۳	۰,۹۹۷۳	۰,۹۹۷۲	۰,۹۹۷۲	۰,۹۹۷۲	۰,۹۹۷۲	۰,۹۹۷۲	۰,۹۹۷۳	۰,۹۹۷۳	۰,۹۹۷۳	۰,۹۹۷۳	۰,۹۹۷۳	انگور
۳	۰,۹۹۷۲	۰,۹۹۷۲	۰,۹۹۷۲	۰,۹۹۷۲	۰,۹۹۷۲	۰,۹۹۷۱	۰,۹۹۷۱	۰,۹۹۷۱	۰,۹۹۷۱	۰,۹۹۷۱	۰,۹۹۷۲	۰,۹۹۷۲	۰,۹۹۷۲	۰,۹۹۷۲	۰,۹۹۷۲	انار
۲	۰,۹۹۷۱	۰,۹۹۷۱	۰,۹۹۷۱	۰,۹۹۷۱	۰,۹۹۷۱	۰,۹۹۷۰	۰,۹۹۷۰	۰,۹۹۷۰	۰,۹۹۷۰	۰,۹۹۷۰	۰,۹۹۷۱	۰,۹۹۷۱	۰,۹۹۷۱	۰,۹۹۷۱	۰,۹۹۷۱	چغندر
۱	۰,۹۹۷۰	۰,۹۹۷۰	۰,۹۹۷۰	۰,۹۹۷۰	۰,۹۹۷۰	۰,۹۹۶۹	۰,۹۹۶۹	۰,۹۹۶۹	۰,۹۹۶۹	۰,۹۹۶۹	۰,۹۹۷۰	۰,۹۹۷۰	۰,۹۹۷۰	۰,۹۹۷۰	۰,۹۹۷۰	GFC

جدول ۷: نتایج ارائه طیف انعکاسی دسته‌های مختلف از مجموعه رنگ‌های طبیعی با بکارگیری ۷ بردار ویژه استخراج شده از مجموعه پلی استر و مانسل.

	کل	انار	انگور	گردو	ارونه	روناس	گلرنگ	چغندر	سماق	اسپرک	زلیل	وسمه	مخلوط
^۱ ^۲ ^۳ ^۴	GFC	۰,۹۹۸۶	۰,۹۹۸۴	۰,۹۹۸۴	۰,۹۹۹۱	۰,۹۹۸۸	۰,۹۹۹۱	۰,۹۹۸۹	۰,۹۹۹۳	۰,۹۹۷۸	۰,۹۹۸۱	۰,۹۹۸۹	۰,۹۹۶۴
	RMSE	۰,۰۰۹۹	۰,۰۱۱۷	۰,۰۱۱۵	۰,۰۰۴۳	۰,۰۱۴۳	۰,۰۰۷۵	۰,۰۱۲۳	۰,۰۰۹۶	۰,۰۱۶۵	۰,۰۱۹۶	۰,۰۰۳۵	۰,۰۰۶۴
	ΔE_{ab} (D65)	۰,۵۴۹	۰,۷۳۴	۰,۶۸۹	۰,۳۳۸	۰,۵۹۱	۰,۳۵۵	۰,۶۱۸	۰,۳۵۵	۰,۷۸۹	۰,۹۲۷	۰,۳۸۹	۰,۵۷۹
	ΔE_{ab} (A)	۰,۶۱۶	۰,۸۴۴	۰,۸۱۷	۰,۴۰۶	۰,۷۹۲	۰,۳۰۵	۰,۷۰۳	۰,۴۱۱	۱,۰۳۱	۱,۰۳۵	۰,۴۸۶	۰,۳۸۹
^۵ ^۶ ^۷ ^۸	GFC	۰,۹۹۸۹	۰,۹۹۹۵	۰,۹۹۹۶	۰,۹۹۹۲	۰,۹۹۹۶	۰,۹۹۹۳	۰,۹۹۹۷	۰,۹۹۹۸	۰,۹۹۹۳	۰,۹۹۹۶	۰,۹۹۹۳	۰,۹۹۱۱
	RMSE	۰,۰۰۶۵	۰,۰۰۶۷	۰,۰۰۵۵	۰,۰۰۳۹	۰,۰۰۸۵	۰,۰۰۶۹	۰,۰۰۶۸	۰,۰۰۵۵	۰,۰۰۹۲	۰,۰۰۹۰	۰,۰۰۲۸	۰,۰۱۰۰
	ΔE_{ab} (D65)	۰,۲۵۷	۰,۱۱۱	۰,۱۶۵	۰,۲۶۶	۰,۲۰۰	۰,۳۰۶	۰,۰۶۹	۰,۱۹۳	۰,۲۹۴	۰,۱۳۰	۰,۰۹۳	۱,۱۲۵
	ΔE_{ab} (A)	۰,۳۴۳	۰,۲۳۱	۰,۲۳۷	۰,۳۴۴	۰,۲۸۲	۰,۴۹۳	۰,۱۴۲	۰,۲۳۸	۰,۳۶۰	۰,۱۷۸	۰,۲۰۷	۱,۰۴۹

بازسازی داده‌های انعکاس طیفی نمونه‌های پشمی رنگرزی شده با مجموعه متنوعی از رنگ‌های طبیعی، مورد بررسی قرار گرفت. نتایج حاصل نشان داد که با به کارگیری ^۵ و حتی در برخی موارد ^۴ بردار ویژه می‌توان نمونه‌های رنگرزی شده با رنگ‌های طبیعی را با دقت بالایی (GFC حدود ۰,۹۹۹) بازسازی نمود. همچنین بهترین نتیجه زمانی حاصل می‌شود که بردارهای ویژه از مجموعه مشابه (رنگ‌های طبیعی) استخراج شده باشند. چنانچه مجموعه دیگری نظیر مانسل جهت استخراج بردارهای ویژه استفاده شود برای رسیدن به دقت مشابه، نیاز به تعداد بردارهای ویژه بیشتری می‌باشد.

۴- نتیجه‌گیری

با وجود اینکه داده‌های طیفی اطلاعات با ارزشی از رنگ نمونه را در اختیار می‌گذارند، اکثرا در تعداد بعد بالایی گزارش می‌شوند. نتایج تحقیقات و بررسی‌ها خصوصاً در به کارگیری ابزار ریاضی چون روش تحلیل اجزاء اصلی در طول نیم قرن گذشته نشان داده است که تعداد بردارهای ویژه لازم برای ارائه داده‌های طیفی بسیار محدودتر از ابعاد اندازه‌گیری شده می‌باشد. به عبارتی این امکان وجود دارد که این اطلاعات را در فضای با بعد بسیار کمتر، با خطای قابل قبول بازسازی نمود. در همین راستا در این تحقیق تعداد بردارهای ویژه لازم برای

۵- مراجع

1. A. Webb, Statistical pattern recognition, Chap. 9, 2nd Ed., England: John Wiley & Sons, 2002.
2. Fukunaga, Introduction to statistical pattern recognition, 9, 2nd Ed., USA: Academic Press INC, 1990.
3. J. B. Cohen, Dependency of the spectral reflectance curves of the Munsell color chips. *Psychon Sci.* 1(1964), 369-370.
4. L. T. Maloney, Evaluation of linear models of surface spectral reflectance with small numbers of parameters. *J. Opt. Soc. Am. A.* 3(1986), 1673-1683.
5. J. Parkkinen, T. Jaaskelainen, Color representation using statistical pattern recognition. *Appl. Optics.* 26(1987), 4240-4245.
6. J. L. Dannemiller, Spectral reflectance of natural objects: how many basis functions are necessary. *J. Opt. Soc. Am. A.* 9(1992), 507-515.
7. M. J. Vrhel, R. Gershon, L. S. Iwan, Measurement and analysis of object reflectance spectra. *Color Res. Appl.* 19(1994), 4-9.
8. J. K. Eem, H. D. Shin, S. O. Park, Reconstruction of surface spectral reflectances using characteristic vectors of Munsell colors. In Proceedings of IS&T and SID's 2nd Color Imaging Conference: Color Science, Systems and Applications, Scottsdale, Arizona, 1994, 127-131.
9. T. Jaaskelainen, J. Parkkinen, S. Toyooka, Vector-subspace model for color representation. *J. Opt. Soc. Am. A.* 7(1990), 725-730.
10. R. Lenz, M. O' sterberg, J. Hiltunen, T. Jaaskelainen, J. Parkkinen, Unsupervised filtering of color spectra. *J. Opt. Soc. Am. A.* 13(1996a), 1315-1324.
11. A. García-Beltran, J. L. Nieves, J. Hernandez-Andres and J. Romero, Linear bases for spectral reflectance functions of acrylic paints. *Color Res. Appl.* 23(1998), 39-45.
12. S. Ghanean, S. H. Amirshahi, F. Mazaheri, Determination of dimension of naturally dyed persian carpet by using principal components analyzing technique. The 6th National Iranian Textile Engineering Conference, 8-9 May 2007, Isfahan, Iran.
13. Spectral Database, University of Joensuu. Color Group <http://spectral.joensuu.fi/index.php?page=database>
14. J. Romero, A. Garcí'a-Beltra'n, J. Herna'ndez-Andre's, Linear bases for representation of natural and artificial illuminants. *J. Opt. Soc. Am. A.* 14(1997), 1007-1014.
15. M. R. Luo, G. Cui, B. Rigg, The Development of the CIE 2000 Colour-Difference Formula: CIEDE2000. *Color Res. Appl.* 26(2001), 340-350.